F2110 / F2113 型高/低边驱动器

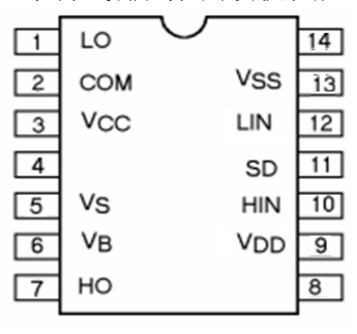
一、概述

F2110/F2113 是一种大功率、高电压高速驱动器,可驱动功率 MOSFET 及 IGBT, 并具有独立的高/低边输出通道。应用于音频 D 类放大器及 DC-DC 转换等。该电路逻辑输入与标准 CMOS 及 LSTTL 输出兼容。

特点

- 浮动通道设计用以辅助工作
- 欠压封锁
- 3. 3V 逻辑兼容
- 独立的逻辑电源范围: 3.3V~20V
- · 带下拉的 CMOS 施密特触发输入
- 关断输入可关闭全部两个通道
- 双通道传输延迟匹配

外引线排列图(顶视图)



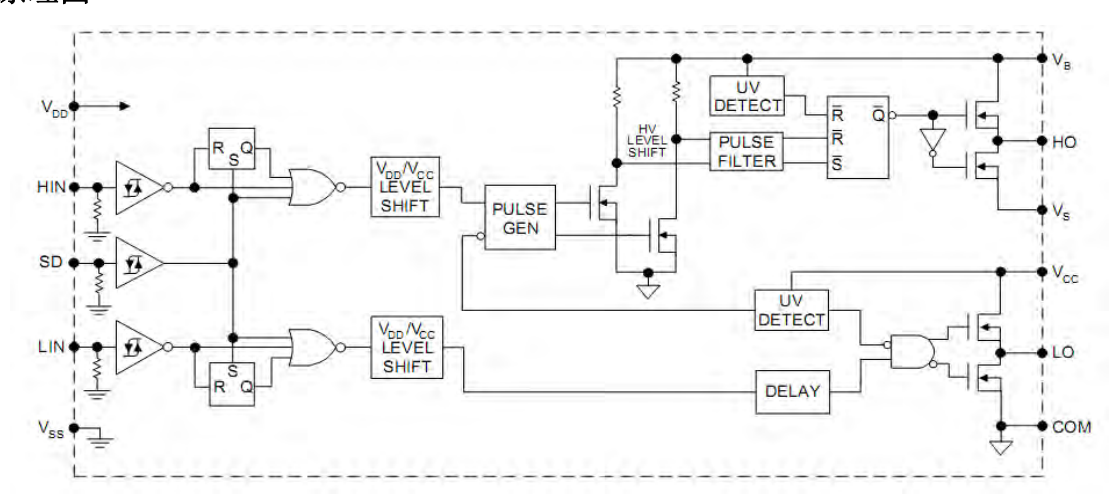
DIP14 型

(CSOP 是 14 线或 16 线 订货需注明)

管脚	功能描述				
$V_{\scriptscriptstyle DD}$	逻辑电源				
HIN	高边门驱动输出(HO)的逻辑输入,同相				
SD	关断的逻辑输入				
LIN	低边门驱动输出(LO)的逻辑输入,同相				
$V_{\rm SS}$	逻辑地				
$V_{\scriptscriptstyle B}$	高边浮动电源				
НО	高边门驱动输出				
V_{S}	高边浮动返回电源				
V_{cc}	低边电源				
LO	低边门驱动输出				
COM	低边返回				



二、电路原理图



三、电特性

绝对最大额定值

高边浮动电源电压(V_B):

-0.3V~525V (F2110)

 $-0.3V \sim 625V$ (F2113)

高边浮动电源偏移电压 (V_s) : V_{B} -25V \sim V_{B} +0.3V

高边浮动输出电压(V_{HO}): V_s-0.3V~V_R+0.3V

低边固定电源电压(V_{cc}): -0.3V~25V

低边输出电压(V_{L0}): -0.3V~V_{CC}+0.3V

逻辑电源电压 (V_{DD}): -0.3V~V_{SS}+25V

逻辑电源偏移电压 (V_{SS}): V_{CC} -25 $V \sim V_{CC}$ +0. 3V

逻辑输入电压 (V_{IN}): (HIN、LIN & SD) V_{SS} -0.3V \sim V $_{DD}$ +0.3V

工作温度范围: -55℃~125℃

推荐工作条件

高边浮动电源绝对电压(V_B): V_s+10V~V_s+20V

高边浮动电源偏移电压(Vs): F2110 < 500V

F2113<600V

高边浮动输出电压(V_m): V_s~V_p

低边固定电源电压(Vcc): 10V~20V

低边输出电压(VLO):0V~VCC

逻辑电源电压 (V_{DD}): V_{SS}+3V~V_{SS}+20V

逻辑电源偏移电压 (Vss):-5V~5V

逻辑输入电压 (V_{IN}) (HIN、LIN & SD): $V_{SS} \sim V_{DD}$

电参数

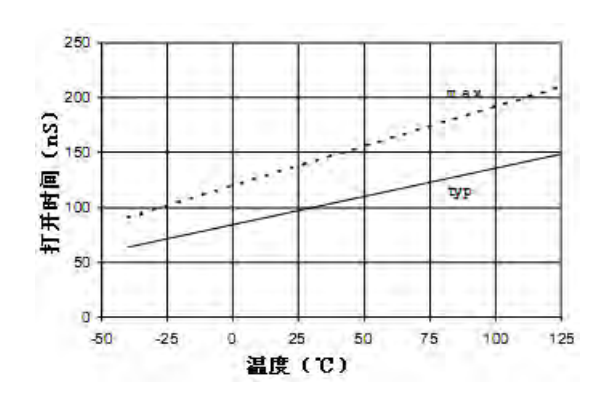
表 1 静态电特性

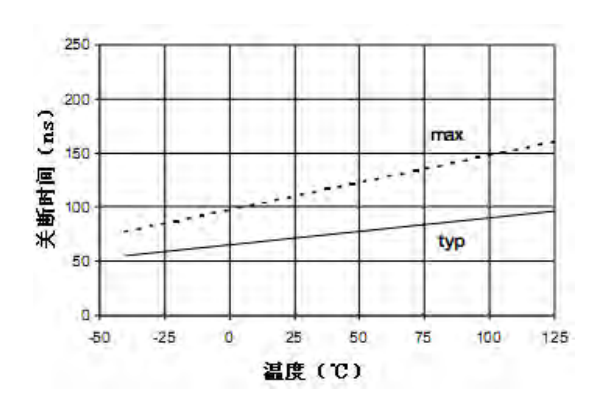
参数	符号	测试条件(除另有规定外, V _{BIAS} (V _{CC} , V _{BS} , V _{DD})=15V, T _A =+25℃, V _{SS} =COM, V _{IN} 、V _{TH} 、I _{IN} 与 V _{SS} 端相关,应用于 HIN、LIN 和 SD 三个逻辑输入端。V ₀ 、I ₀ 与 COM 端相关,应用于 HO 或 LO 输出端。)	最小值	典型值	最大值	単位		
逻辑"1"输入电压	$V_{\scriptscriptstyle \mathrm{IH}}$		9. 5	-	1			
逻辑"0"输入电压	$V_{\scriptscriptstyle \rm IL}$		_	-	6. 0	V		
高电平输出电压 V _{BIAS} -V ₀	V_{OH}	I ₀ =0A	-	-	1.2			
低电平输出电压 V。	V_{OL}	I ₀ =0A	-	-	0. 1			
偏移电源漏电流*	$I_{\scriptscriptstyle LK}$	$V_B = V_S = 500V/600V$	_	-	50	μА		
V™静态电源电流	I_{QBS}	$V_{ ext{IN}}\!\!=\!\!0V$ or $V_{ ext{DD}}$	-	125	230			
Vα静态电源电流	$I_{\text{\tiny QCC}}$	$V_{ ext{IN}}\!\!=\!\!0V$ or $V_{ ext{DD}}$	_	180	340			
Vℷℷ静态电源电流	$I_{\mathtt{QDD}}$	$V_{\scriptscriptstyle { m IN}}\!\!=\!\!0V$ or $V_{\scriptscriptstyle { m DD}}$	_	15	30			
逻辑"1"输入偏置电流	$I_{\scriptscriptstyle \rm IN^+}$	$V_{IN} = V_{DD}$	_	20	40			
逻辑"0"输入偏置电流	$I_{\rm IN-}$	$V_{IN}=0V$	_	_	1. 0			
V _{BS} 电源欠压正向阈值	$V_{\scriptscriptstyle BSUV^+}$		7. 5	8.6	9. 7			
VBS电源欠压负向阈值	$V_{\scriptscriptstyle BSUV-}$		7. 0	8. 2	9. 4	V		
Vcc电源欠压正向阈值	V_{CCUV^+}		7. 4	8. 5	9. 6	V		
Vcc电源欠压负向阈值	$V_{\text{\tiny CCUV-}}$		7. 0	8. 2	9. 4			
输出高短路脉冲电流*	I_{0+}	$V_0=0V$, $V_{IN}=V_{DD}$, $PW \leq 10 \mu s$	2. 0	2. 5	_	A		
输出低短路脉冲电流*	I_{o-}	$V_0=0V$, $V_{IN}=V_{DD}$, $PW \leqslant 10 \mu s$	2. 0	2. 5	-			
注:带*参数为参考参数,不考核。								

表 2 动态电特性

参数	符号	测试条件(除另有规定外, V _{BIAS} (V _{CC} , V _{BS} , V _{DD})=15V, C _L =1000pF, T _A =+25 ℃, V _{SS} =COM,	最小值	典型值	最大值	单位		
开启传输延迟*	$t_{\rm on}$	$V_S=0V$,	-	120	150			
关闭传输延迟*	$t_{\scriptsize ext{off}}$	V _s =500V/600V	-	94	125			
关断传输延迟*	$t_{ m sd}$	V _s =500V/600V	_	110	140			
开启上升时间*	t_{r}		_	25	35	ns		
断开下降时间*	$t_{\scriptscriptstyle\mathrm{f}}$		-	17	25			
延迟匹配 (HS & LS) *	MT	F2110	_	-	10			
		F2113	_	-	20			
注: 带*参数为参考参数,不考核。								

四、典型工作特性曲线





特性1: 温度对打开时间的影响

特性 2: 温度对关断时间的影响

五、典型应用图

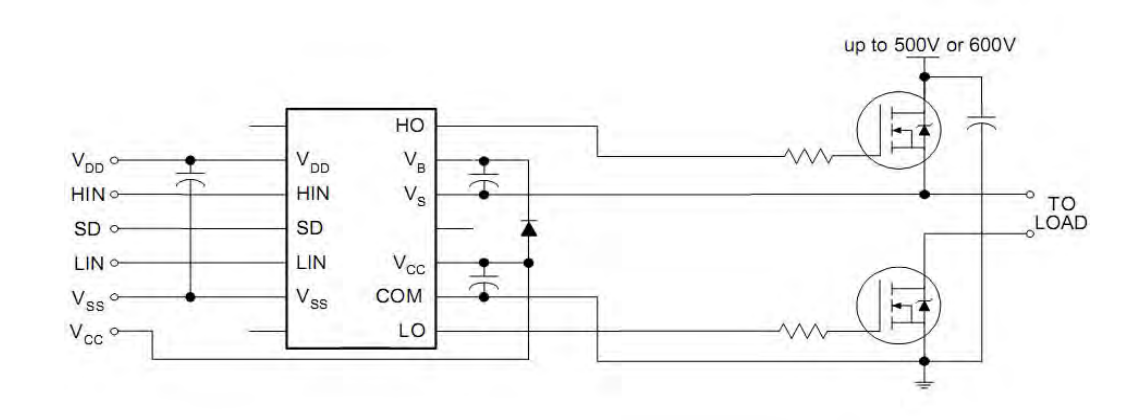


图 1 基本接线图